УДК 517.927, 519.624

Д. В. Валовик, Е. Р. Эргашева

# ЗАДАЧА ДИФРАКЦИИ ЭЛЕКТРОМАГНИТНЫХ ТЕ-ВОЛН НА НЕЛИНЕЙНОМ СЛОЕ<sup>1</sup>

Аннотация. Рассмотрена краевая задача дифракции электромагнитной ТЕ-волны на нелинейном слое с нелинейностью, выраженной законом Керра; формулируется и реализуется численный метод рассматриваемой задачи. Представлены результаты расчетов.

*Ключевые слова*: уравнения Максвелла, задача дифракции, электромагнитные ТЕ-волны, керровская нелинейность.

*Abstract*. The article considers a boundary diffraction problem of a TE wave on a nonlinear layer. The nonlinearity in the layer is described by Kerr law. A numerical method to solve the problem is suggested and proved. Results of numerical calculations are given.

Key words: Maxwell's equations, diffraction problem, TE waves, Kerr nonlinearity.

#### 1. Постановка задачи

Рассмотрим электромагнитные волны, распространяющиеся через однородный, изотропный, немагнитный диэлектрический слой, расположенный между двумя полупространствами x < 0 и x > h в декартовой системе координат Oxyz. Полупространства заполнены изотропной немагнитной средой без источников и имеют постоянную диэлектрическую проницаемость  $\varepsilon_1 \geq \varepsilon_0$ ,  $\varepsilon_3 \geq \varepsilon_0$  соответственно, где  $\varepsilon_0$  — диэлектрическая проницаемость вакуума. Вообще говоря, условия  $\varepsilon_1 \geq \varepsilon_0$ ,  $\varepsilon_3 \geq \varepsilon_0$  необязательны, можно считать, что  $\varepsilon_1$ ,  $\varepsilon_3$  произвольные вещественные числа. Считаем, что всюду  $\mu = \mu_0$  — магнитная проницаемость вакуума.

Считаем поля гармонически зависящими от времени [1]:

$$\tilde{\mathbf{E}}(x,y,z,t) = \mathbf{E}_{+}(x,y,z)\cos\omega t + \mathbf{E}_{-}(x,y,z)\sin\omega t;$$
  
$$\tilde{\mathbf{H}}(x,y,z,t) = \mathbf{H}_{+}(x,y,z)\cos\omega t + \mathbf{H}_{-}(x,y,z)\sin\omega t,$$

где  $\omega$  – круговая частота;  $\tilde{\mathbf{E}}$  ,  $\mathbf{E}_+$  ,  $\mathbf{E}_-$  ,  $\tilde{\mathbf{H}}$  ,  $\mathbf{H}_+$  ,  $\mathbf{H}_-$  – вещественные искомые функции.

Образуем комплексные амплитуды полей E(x, y, z) и H(x, y, z):

$$E = E_{+} + iE_{-}, H = H_{+} + iH_{-},$$

где  $\mathbf{E} = \left(E_x, E_y, E_z\right)^T$ ,  $\mathbf{H} = \left(H_x, H_y, H_z\right)^T$ ; знак  $(\cdot)^T$  обозначает операцию транспонирования;

$$E_{x}=E_{x}\left( x,y,z\right) ,\ E_{y}=E_{y}\left( x,y,z\right) ,\ E_{z}=E_{z}\left( x,y,z\right) ,$$

<sup>&</sup>lt;sup>1</sup> Работа выполнена при поддержке ФЦП «Научные и педагогические кадры инновационной России» на 2009–2013 гг., соглашения № 14.В37.21.1950, 14.А18.21.2054, 8860.

$$H_x = H_x(x, y, z), H_y = H_y(x, y, z), H_z = H_z(x, y, z).$$

Ниже множители  $\cos \omega t$  и  $\sin \omega t$  будем опускать.

Электромагнитное поле Е, Н удовлетворяет уравнениям Максвелла

rot 
$$\mathbf{H} = -i\omega \varepsilon \mathbf{E}$$
,  
rot  $\mathbf{E} = i\omega \mu \mathbf{H}$ , (1)

условию непрерывности касательных составляющих компонент поля на границе раздела сред x=0, x=h и условию излучения на бесконечности: электромагнитное поле экспоненциально затухает при  $|x| \to \infty$  в областях x<0 и x>h. Диэлектрическая проницаемость внутри слоя описывается законом Керра [2]

$$\varepsilon = \varepsilon_2 + \alpha |\mathbf{E}|^2,$$

где  $\varepsilon_2$  – постоянная составляющая диэлектрической проницаемости в слое;  $\alpha$  – коэффициент нелинейности.

Будем искать решение уравнений Максвелла во всем пространстве. На рис. 1 схематически представлена геометрия задачи.

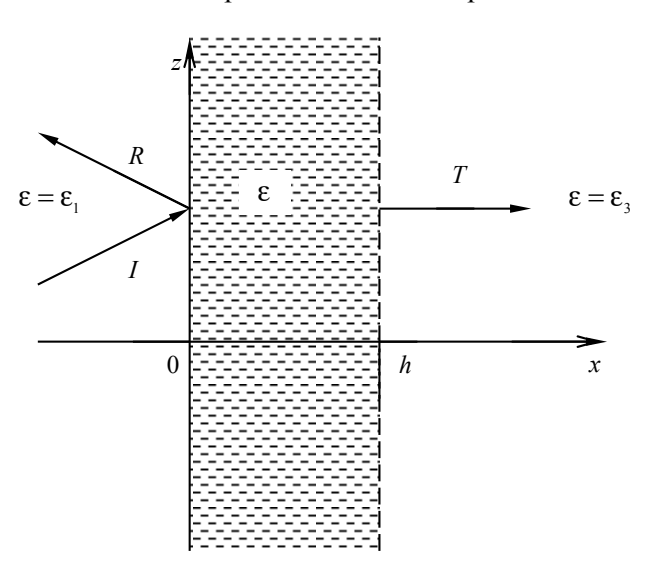


Рис. 1. Геометрия задачи

Коэффициент I (падающая волна) считается известным, а коэффициенты R (отраженная волна) и T (преломленная волна) подлежат определению (см. рис. 1).

#### 2. ТЕ-волны

Рассмотрим ТЕ-поляризованные электромагнитные волны

$$\mathbf{E} = (0, E_y, 0)^T, \ \mathbf{H} = (H_x, 0, H_z)^T,$$

где 
$$E_x = E_x (x,y,z)$$
,  $E_z = E_z (x,y,z)$ ,  $H_y = H_y (x,y,z)$ .

Можно показать, что компоненты полей  ${\bf E}$ ,  ${\bf H}$  не зависят от y [3]. Волны, распространяющиеся вдоль границы z раздела сред, гармонически зависят от z. Значит, компоненты полей  ${\bf E}$ ,  ${\bf H}$  имеют представление

$$E_{v} = E_{v}(x)e^{i\gamma z}, H_{x} = H_{x}(x)e^{i\gamma z}, H_{z} = H_{z}(x)e^{i\gamma z},$$
 (2)

где значение у считается известным.

Подставив (2) в (1), получим

$$\begin{cases} i\gamma \mathbf{H}_{x}(x) - \mathbf{H}'_{z}(x) = -i\omega \varepsilon \mathbf{E}_{y}(x), \\ -i\gamma \mathbf{E}_{y}(x) = i\omega \mu \mathbf{H}_{x}(x), \\ \mathbf{E}'_{y}(x) = i\omega \mu \mathbf{H}_{z}(x). \end{cases}$$

После простейших преобразований из последней системы получаем

$$\gamma^2 E_y(x) - E_y''(x) = \omega^2 \mu \varepsilon E_y(x)$$
.

Пусть  $k^2 = \omega^2 \mu_0 \varepsilon_0$ , выполним нормировку в соответствии с формулами  $\tilde{x} = kx, \frac{d}{dx} = k \frac{d}{d\tilde{x}}, \tilde{\gamma} = \frac{\gamma}{k}, \tilde{\varepsilon}_j = \frac{\varepsilon_j}{\varepsilon_0}$  ( j = 1, 2, 3 ). Обозначим  $Y(\tilde{x}) := \mathrm{E}_y(x)$ . Опуская значок тильды, получаем

$$Y''(x) = -\left(\varepsilon - \gamma^2\right)Y(x), \qquad (3)$$

где

$$\varepsilon = \begin{cases} \varepsilon_1, & x < 0, \\ \varepsilon_2 + \alpha Y^2, & 0 < x < h, \\ \varepsilon_3, & x > h. \end{cases}$$

## 3. Решение дифференциальных уравнений в полупространствах

При x < 0 имеем  $\varepsilon = \varepsilon_1$ . Из (3) получаем уравнение

$$Y'' = (\gamma^2 - \varepsilon_1)Y,$$

его общее решение

$$Y(x) = C_1 e^{-\sqrt{\gamma^2 - \varepsilon_1}x} + C_2 e^{\sqrt{\gamma^2 - \varepsilon_1}x}.$$

Пусть  $k_1^2 = \gamma^2 - \varepsilon_1$ , также обозначим  $C_1 \coloneqq R$  ,  $C_2 \coloneqq I$  . Тогда

$$Y(x) = Re^{-k_1x} + Ie^{k_1x}$$
 (4)

Причем величина I является известной, а величина R — неизвестна и подлежит определению.

Здесь мы считаем  $\gamma^2 - \epsilon_1 > 0$ , ибо в противном случае мы получим общее решение, выраженное через синусы и косинусы действительного аргумента, и, таким образом, не сможем удовлетворить условию излучения на бесконечности.

При x > h имеем  $\varepsilon = \varepsilon_3$ . Из (3) получаем уравнение

$$Y'' = \left(\gamma^2 - \varepsilon_3\right)Y,$$

его общее решение имеет вид

$$Y(x) = C_3 e^{-(x-h)\sqrt{\gamma^2 - \varepsilon_3}} + C_4 e^{(x-h)\sqrt{\gamma^2 - \varepsilon_3}}$$

В силу условия на бесконечности  $C_4=0$  . Пусть  $k_3^2=\gamma^2-\epsilon_3$  , также обозначим  $C_3:=T$  , тогда

$$Y(x) = Te^{-(x-h)k_1}$$
, (5)

величина T неизвестна и подлежит определению.

Здесь по тем же причинам, что и при x < 0, мы считаем  $\gamma^2 - \varepsilon_3 > 0$ .

Из формул (4), (5) следует неравенство  $\gamma^2 > \max(\epsilon_1, \epsilon_3)$ .

Внутри слоя получаем уравнение

$$Y''(x) = -\left(\varepsilon_2 - \gamma^2 - \alpha Y^2(x)\right)Y(x). \tag{6}$$

## 4. Условия сопряжения и формулировка задачи

Как известно [4, 5], касательные составляющие электромагнитного поля непрерывны на границе раздела сред.

В рассматриваемом случае касательными составляющими являются компоненты  $E_y$  и  $H_z$ . Но  $\frac{\partial E_y}{\partial x}=i\omega\mu H_z$ , следовательно, непрерывной является также и  $\frac{\partial E_y}{\partial x}$ .

Из непрерывности касательных составляющих компонент поля следуют условия сопряжения для функций Y и Y':

$$[Y]_{x=0} = 0, [Y]_{x=h} = 0,$$
  
 $[Y']_{x=0} = 0, [Y']_{x=h} = 0,$  (7)

где  $[f]_{x=x_0} = \lim_{x \to x_0=0} f(x) - \lim_{x \to x_0+0} f(x)$  обозначает скачок функции в точке  $x = x_0$ 

Тогда получаем

$$Y(0-0) = R + I$$
,  $Y(h+0) = T$ ,

$$N_{2} 4 (24), 2012$$
 Физико-математические науки. Математика 
$$Y'(0-0) = (-R+I)k_{1}, \ Y'(h+0) = -Tk_{3}. \tag{8}$$

Теперь мы можем сформулировать краевую задачу (задача  $P_{NL}$ ): найти значения коэффициентов R и T и решение Y(x) уравнения (6) такое, чтобы выполнялись условия (7), причем в полупространствах x < 0 и x > h функция Y(x) описывается формулами (4), (5).

## 5. Линейная задача

Из уравнения (6) при  $\alpha = 0$  получаем линейное дифференциальное уравнение

$$Y'' = -k_2^2 Y \,, (9)$$

где  $k_2^2 = \varepsilon_2 - \gamma^2 \ge 0$ .

Общим решением уравнения (9) является

$$Y = C_1 \cos k_2 x + C_2 \sin k_2 x.$$

Полагая x = 0, из условий сопряжения (7) и формул (8) получаем систему уравнений

$$\begin{cases}
R + I = C_1, \\
k_1(-R + I) = k_2 C_2,
\end{cases}$$
(10)

откуда, выражая  $C_2$ , получаем

$$C_2 = k_1 k_2^{-1} (-R + I)$$
.

При x = h из условий сопряжения (7) и формул (8) получаем следующую систему уравнений:

$$\begin{cases}
T = C_1 \cos k_2 h + C_2 \sin k_2 h, \\
-k_3 T = -k_2 C_1 \sin k_2 h + k_2 C_2 \cos k_2 h.
\end{cases}$$
(11)

Подставляя в систему (11) значения  $C_1$  и  $C_2$ , найденные из (10), получаем

$$\begin{cases}
T = (R+I)\cos k_2 h + k_1 k_2^{-1} (-R+I)\sin k_2 h, \\
-k_3 T = -k_2 (R+I)\sin k_2 h + k_1 (-R+I)\cos k_2 h.
\end{cases}$$
(12)

Преобразуем систему (12) к виду

$$\begin{cases}
T = R\left(\cos k_2 h - k_1 k_2^{-1} \sin k_2 h\right) + I\left(\cos k_2 h + k_1 k_2^{-1} \sin k_2 h\right), \\
k_3 T = R\left(k_2 \sin k_2 h + k_1 \cos k_2 h\right) - I\left(k_1 \cos k_2 h - k_2 \sin k_2 h\right).
\end{cases} (13)$$

Поделив в (13) одно уравнение на другое, получим

$$k_3 R \left(\cos k_2 h - k_1 k_2^{-1} \sin k_2 h\right) + k_3 I \left(\cos k_2 h + k_1 k_2^{-1} \sin k_2 h\right) =$$

$$= R(k_2 \sin k_2 h + k_1 \cos k_2 h) - I(k_1 \cos k_2 h - k_2 \sin k_2 h).$$

Из последнего уравнения находим

$$R = -I \frac{\left(k_2^2 - k_1 k_3\right) \sin k_2 h - k_2 \left(k_1 + k_3\right) \cos k_2 h}{\left(k_2^2 + k_1 k_3\right) \sin k_2 h - k_2 \left(k_3 - k_1\right) \cos k_2 h}.$$
 (14)

Теперь, зная R, из первого уравнения системы (12) получаем

$$T = (R+I)\cos k_2 h + k_1 k_2^{-1} (-R+I)\sin k_2 h, \qquad (15)$$

или

$$T = I \left( -\frac{\left(k_2^2 - k_1 k_3\right) \sin k_2 h - k_2 \left(k_1 + k_3\right) \cos k_2 h}{\left(k_2^2 + k_1 k_3\right) \sin k_2 h - k_2 \left(k_3 - k_1\right) \cos k_2 h} + 1 \right) \cos k_2 h + \frac{k_1}{k_2} I \left( \frac{\left(k_2^2 - k_1 k_3\right) \sin k_2 h - k_2 \left(k_1 + k_3\right) \cos k_2 h}{\left(k_2^2 + k_1 k_3\right) \sin k_2 h - k_2 \left(k_3 - k_1\right) \cos k_2 h} + 1 \right) \sin k_2 h.$$

Последнее уравнение можно записать так:

$$T = \frac{2k_1k_2I}{\left(k_2^2 + k_1k_3\right)\sin k_2h - k_2\left(k_3 - k_1\right)\cos k_2h}.$$

Тогда для  $C_1$  и  $C_2$  получаем

$$C_{1} = 2I \frac{k_{1} (k_{3} \sin k_{2}h + k_{2} \cos k_{2}h)}{(k_{2}^{2} + k_{1}k_{3}) \sin k_{2}h - k_{2} (k_{3} - k_{1}) \cos k_{2}h};$$

$$C_{2} = \frac{2Ik_{1} (k_{2} \sin k_{2}h - k_{3} \cos k_{2}h)}{(k_{2}^{2} + k_{1}k_{3}) \sin k_{2}h - k_{2} (k_{3} - k_{1}) \cos k_{2}h}.$$

Таким образом, решение линейной задачи имеет вид

$$\begin{cases} R = -I \frac{\left(k_2^2 - k_1 k_3\right) \sin k_2 h - k_2 \left(k_1 + k_3\right) \cos k_2 h}{\left(k_2^2 + k_1 k_3\right) \sin k_2 h - k_2 \left(k_3 - k_1\right) \cos k_2 h}, \\ T = \frac{2k_1 k_2 I}{\left(k_2^2 + k_1 k_3\right) \sin k_2 h - k_2 \left(k_3 - k_1\right) \cos k_2 h}, \\ Y(x) = \frac{2I k_1 \left(\left(k_3 \sin k_2 h + k_2 \cos k_2 h\right) \cos k_2 x + \left(k_2 \sin k_2 h - k_3 \cos k_2 h\right) \sin k_2 x\right)}{\left(k_2^2 + k_1 k_3\right) \sin k_2 h - k_2 \left(k_3 - k_1\right) \cos k_2 h}. \end{cases}$$

Формулы (14) и (15) будут использованы для получения численных результатов. Также на основе точного решения линейной задачи будет проведено тестирование численного метода решения линейной и нелинейной задач.

Заметим, что формулы (14) и (15) могут быть получены иначе (и будут иметь другой вид!). А именно уравнение (9) имеет первый интеграл:  $Y'^2 = -k_2^2 Y^2 + c_1$ , где  $c_1$  – постоянная интегрирования. Используя условия сопряжения (7) и выражения (8), из первого интеграла получаем

$$(R-I)^2 k_1^2 - T^2 k_3^2 = k_2^2 (T^2 - (R+I)^2).$$

Последнее соотношение можно использовать для нахождения  ${\it R}$  или  ${\it T}$  .

Таким образом, задача (линейная) в слое с постоянной диэлектрической проницаемостью решена точно.

#### 6. Нелинейная задача

Рассмотрим нелинейную задачу. А именно, считая, что диэлектрическая проницаемость в слое выражается законом Керра:  $\varepsilon = \varepsilon_2 + \alpha Y^2$ , получаем уравнение (6).

Несмотря на то, что уравнение (6) может быть решено в квадратурах (более точно: решение уравнения (6) выражается через эллиптические функции), мы не будем обращаться к точному решению. Во-первых, потому что анализ точного решения рассматриваемой задачи достаточно труден, а во-вторых, в случае более сложной нелинейности решение вообще может не выражаться через известные функции, а будет представимо интегралом (анализ такого выражения может оказаться весьма сложным). Точному решению через эллиптические функции рассматриваемой задачи посвящена работа [6]. Там же можно найти полезные обсуждения результатов.

Перейдем от решения нелинейной задачи сопряжения к решению некоторой вспомогательной задачи Коши. А именно, будем считать, что R задано, тогда из (8) для уравнения (6) имеем начальные условия

$$\begin{cases} Y(0+0) = R+I, \\ Y'(0+0) = k_1(R-I). \end{cases}$$
 (16)

Рассмотрим задачу Коши для уравнения (6) с начальными условиями (16). Решая задачу Коши, мы находим Y(h-0), тогда пусть T := Y(h-0). Далее построим функцию

$$F(R) := Y'(h-0) - Y'(h+0). \tag{17}$$

Поскольку  $Y'(h+0) = -k_3T$  , а T := Y(h-0) , то для (17) получаем

$$F(R) = Y'(h-0) + k_3Y(h-0)$$
. (18)

Мы видим, что правая часть (18) выражается только через решения задачи Коши. Тогда ясно, что если  $R=\tilde{R}$  таково, что  $F\left(\tilde{R}\right)=0$ , то  $\tilde{R}$  и  $\tilde{T}:=Y\left(h-0,\tilde{R}\right)$  являются искомыми коэффициентами, а решение  $Y\left(x,\tilde{R}\right)$  задачи Коши для уравнения (6) с начальными условиями  $Y\left(0+0,\tilde{R}\right)=\tilde{R}+I$ ,  $Y'\left(0+0,\tilde{R}\right)=k_1\left(\tilde{R}-I\right)$  является искомым решением нелинейной задачи.

На основе полученных результатов сформулируем следующее

**Утверждение**. Пусть отрезок  $\left[\underline{R},\overline{R}\right]\subset\left[R_*,R^*\right]$  таков, что  $F\left(\underline{R}\right)F\left(\overline{R}\right)<0$ , тогда существует по крайней мере одно  $\tilde{R}\in\left(\underline{R},\overline{R}\right)$  такое, что  $\tilde{R}$ ,  $\tilde{T}:=Y\left(h-0,\tilde{R}\right)$  являются искомыми коэффициентами, а решение  $Y\left(x,\tilde{R}\right)$  задачи Коши для уравнения (6) с начальными условиями  $Y\left(0+0,\tilde{R}\right)=\tilde{R}+I$ ,  $Y'\left(0+0,\tilde{R}\right)=k_1\left(\tilde{R}-I\right)$ , — искомым решением нелинейной задачи.

На основе этого утверждения можно построить численный метод для решения задачи  $P_{NL}$ . Для этого достаточно выбрать отрезок  $\left[R_*,R^*\right]$ , разделив его (n+1) узлами, получим сетку  $\left\{R_i\right\}$ ,  $i=\overline{0,n}$ , где  $R_0=R_*$ ,  $R_n=R^*$ . Для каждого индекса i получим начальные значения:

$$\begin{cases} Y(0+0) = R_i + I, \\ Y'(0+0) = k_1(R_i - I). \end{cases}$$

Решая задачу Коши для каждого i и вычисляя  $F(R_i)$ , можно найти такие  $R_j$  и  $R_{j+1}$ , что  $F(R_j)F(R_{j+1})<0$  (если таковые  $R_j$  и  $R_{j+1}$  существуют). Если отрезок  $\left[R_j,R_{j+1}\right]$  найден, то дальнейшее уточнение искомого  $\tilde{R}_i$  может быть найдено, например, методом дихотомии.

Отметим, что использованный нами подход для решения краевой задачи на основе решения вспомогательной задачи Коши широко известен (см., например, [7]). Этот метод может быть использован в том числе и для численного решения нелинейных задач сопряжения на собственные значения, описывающих распространение собственных волн в нелинейных однослойных и многослойных слоистых волноводах (см., например, [8–10]).

#### 7. Численные результаты

На рис. 2—7 представлены зависимости значений коэффициентов R и T как от параметра  $\alpha$  , так и от параметра I .

Выбирая определенные значения  $\gamma^2$ , h,  $\epsilon_1$ ,  $\epsilon_2$ ,  $\epsilon_3$ , решаем описанную выше краевую задачу описанным выше способом. Проделав эту операцию для нескольких значений I, мы можем построить график зависимости R = R(I). Если соединить точки, получим линии.

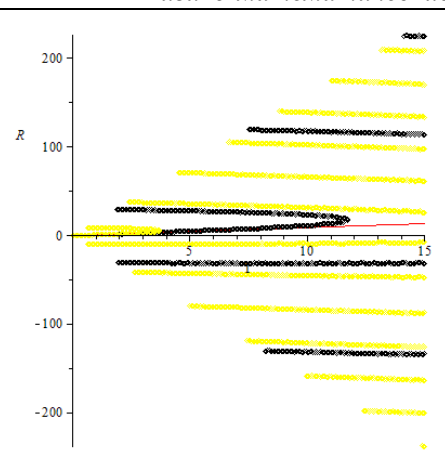


Рис. 2. Графики зависимости коэффициента R от I при различных значениях коэффициента нелинейности. Использованы следующие значения параметров:

$$\gamma^2 = 2.8$$
,  $\epsilon_1 = 1$ ,  $\epsilon_2 = 9$ ,  $\epsilon_3 = 2$ ,  $h = 1$ ,  $\alpha = 0.001$ 

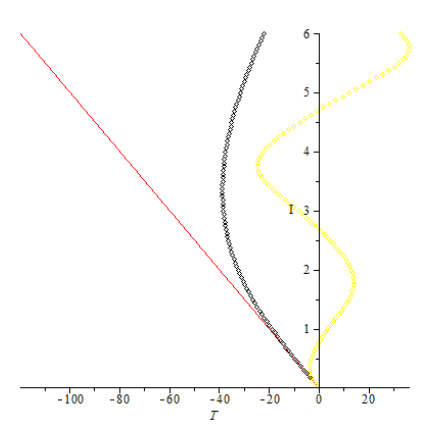


Рис. 3. Графики зависимости коэффициента T от I при различных значениях коэффициента нелинейности. Использованы следующие значения параметров:

$$\gamma^2=2,8\;,\;\epsilon_1=1\;,\;\epsilon_2=9\;,\;\epsilon_3=2\;,\;h=1\;,\;\alpha=0\;,\;\alpha=0,001\;,\;\alpha=0,1$$

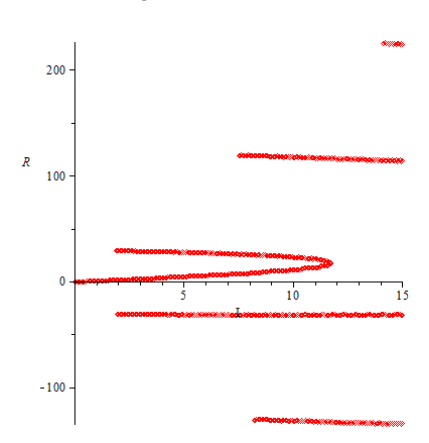


Рис. 4. График зависимости коэффициента R от I . Использованы следующие значения параметров:  $\gamma^2=2,8$  ,  $\epsilon_1=1$  ,  $\epsilon_2=9$  ,  $\epsilon_3=2$  , h=1 ,  $\alpha=0,001$ 

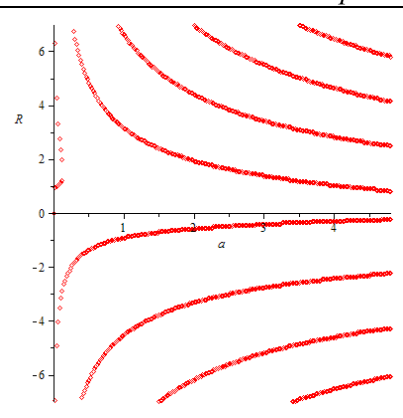


Рис. 5. График зависимости коэффициента R от значения коэффициента нелинейности  $\alpha$  . Использованы следующие значения параметров:

$$\gamma^2 = 2,8$$
,  $\epsilon_1 = 1$ ,  $\epsilon_2 = 9$ ,  $\epsilon_3 = 2$ ,  $h = 1$ ,  $I = 1$ 

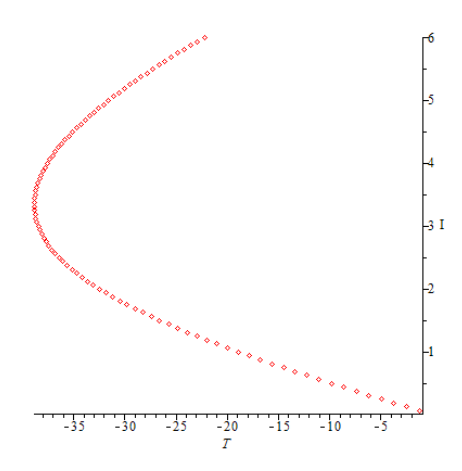


Рис. 6. График зависимости коэффициента T от I . Использованы следующие значения параметров:  $\gamma^2=2,8$  ,  $\epsilon_1=1$  ,  $\epsilon_2=9$  ,  $\epsilon_3=2$  , h=1 ,  $\alpha=0,001$ 

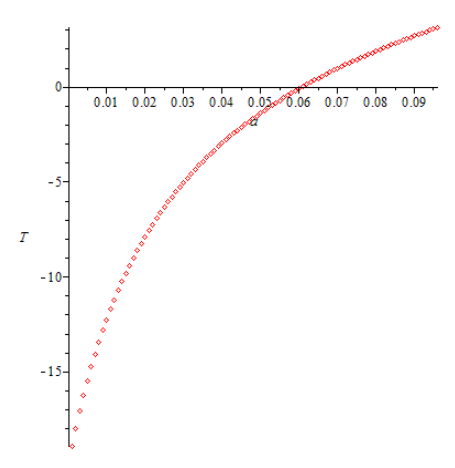


Рис. 7. График зависимости коэффициента T от значения коэффициента нелинейности  $\alpha$  . Использованы следующие значения параметров:

$$\gamma^2 = 2.8$$
,  $\varepsilon_1 = 1$ ,  $\varepsilon_2 = 9$ ,  $\varepsilon_3 = 2$ ,  $h = 1$ ,  $I = 1$ 

## Список литературы

- 1. **Eleonskii**, **V. M.** Cylindrical Nonlinear Waveguides / V. M. Eleonskii, L. G. Oganes'yants, V. P. Silin // Soviet physics JETP. − 1972. − V. 35, № 1. − P. 44–47.
- 2. **Ахмедиев, Н. Н.** Солитоны. Нелинейные импульсы и пучки / Н. Н. Ахмедиев, А. Анкевич. М.: Физматлит, 2003. 304 с.
- 3. **Smirnov**, **Yu. G.** Electromagnetic wave propagation in nonlinear layered waveguide structures / Yu. G. Smirnov, D. V. Valovik. Penza: PSU Press, 2011. 248 c.
- 4. **Стрэттон**, Дж. А. Теория электромагнетизма / Дж. А. Стрэттон. М. ; Л. : ОГИЗ, 1948. 540 с.
- 5. **Вайнштейн, Л. А.** Электромагнитные волны / Л. А. Вайнштейн. М.: Радио и связь, 1988. 440 с.
- 6. **Schürmann, H.-W.** Reflection and transmission of a plane TE-wave at a lossless nonlinear dielectric film / H.-W. Schürmann, V. S. Serov, Yu. V. Shestopalov // Physica D. 2001. № 158. P. 197–215.
- 7. **Волков, Е. А.** Об исследовании и решении разностным методом нелинейных задач для обыкновенного дифференциального уравнения / Е. А. Волков // Труды МИАН СССР. 1976. Т. 140. С. 103–129.
- 8. **Валовик,** Д. В. О методе задачи Коши решения нелинейной краевой задачи на собственные значения для электромагнитных ТМ-волн, распространяющихся в слое с керровской нелинейностью / Д. В. Валовик, Е. В. Зарембо // Радиотехника и электроника. 2013. Т. 58 (принята к печати).
- 9. **Валовик,** Д. В. Численное решение задачи о распространении электромагнитных ТМ-волн в круглом диэлектрическом волноводе, заполненном нелинейной средой / Д. В. Валовик, Е. Ю. Смолькин // Известия высших учебных заведений. Поволжский регион. Физико-математические науки. 2012. № 3. С. 29–37.
- Valovik, D. V. Electromagnetic TM wave propagation in nonlinear multilayered waveguides. Numerical technique to obtain propagation constants / D. V. Valovik, E. V. Zarembo // International Conference on Mathematical Methods in Electromagnetic Theory 2012, Proceedings. Kharkiv, 2012. P. 105–108.

### Валовик Дмитрий Викторович

кандидат физико-математических наук, доцент, кафедра математики и суперкомпьютерного моделирования, Пензенский государственный университет

E-mail: dvalovik@mail.ru

Эргашева Екатерина Рифкатовна

студентка, Пензенский государственный университет

E-mail: mmm@pnzgu.ru

Valovik Dmitry Victorovich

Candidate of physical and mathematical sciences, associate professor, sub-department of mathematics and supercomputer modeling, Penza State University

*Ergasheva Ekaterina Rifkatovna* Student, Penza State University

УДК 517.927, 519.624

### Валовик, Д. В.

Задача дифракции электромагнитных ТЕ-волн на нелинейном слое / Д. В. Валовик, Е. Р. Эргашева // Известия высших учебных заведений. Поволжский регион. Физико-математические науки. — 2012. — № 4 (24). — С. 73–83.